

# Fusion de données et de décisions pour la classification de données sonar et radar

Arnaud MARTIN  
ENSIETA / E3I2  
2, rue F. Verney  
29806 Brest cedex 9

# Plan

- Applications du Laboratoire E3I2
- Données sonar et radar
- Approches de classification
- Approches de fusion d'informations
- 2 exemples d'applications

# Applications du Laboratoire E3I2

- Domaine radar (environnement aérien)
- Domaine sonar (environnement marin)



- Modélisation d'environnements électromagnétique complexes
  - surface rugueuse (sol, mer, ...)
  - forêts
  - villes
- Détection et reconnaissance de cibles radar
  - maquettes avions, bateaux (imagerie)
  - nappes de pétrole sur la surface maritime

# Sonar

## Applications

- Caractérisation des sédiments sous-marin
  - cartographie des fonds marins (surface et profil)
  - recalage d'images (pour navigation)
- Détection et reconnaissance d'objets enfouis
  - guerre des mines
  - navigation
- Tomographie

Estimer les paramètres du milieu (colonne d'eau, température, pression, pénétration du sédiment, etc...)

# Données radar et sonar

- Capteurs Électromagnétiques

- Radar

- Capteurs Acoustiques

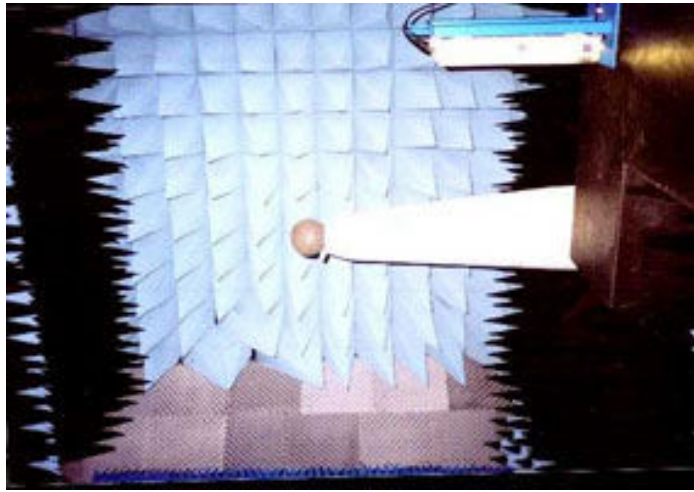
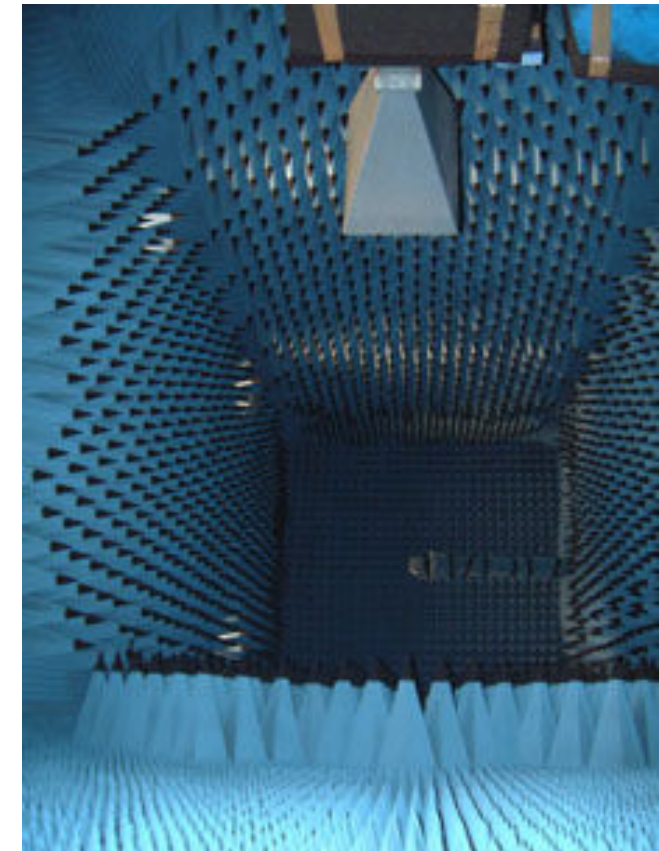
- Sonar
  - Sondeur
  - Hydrophone



# Radar

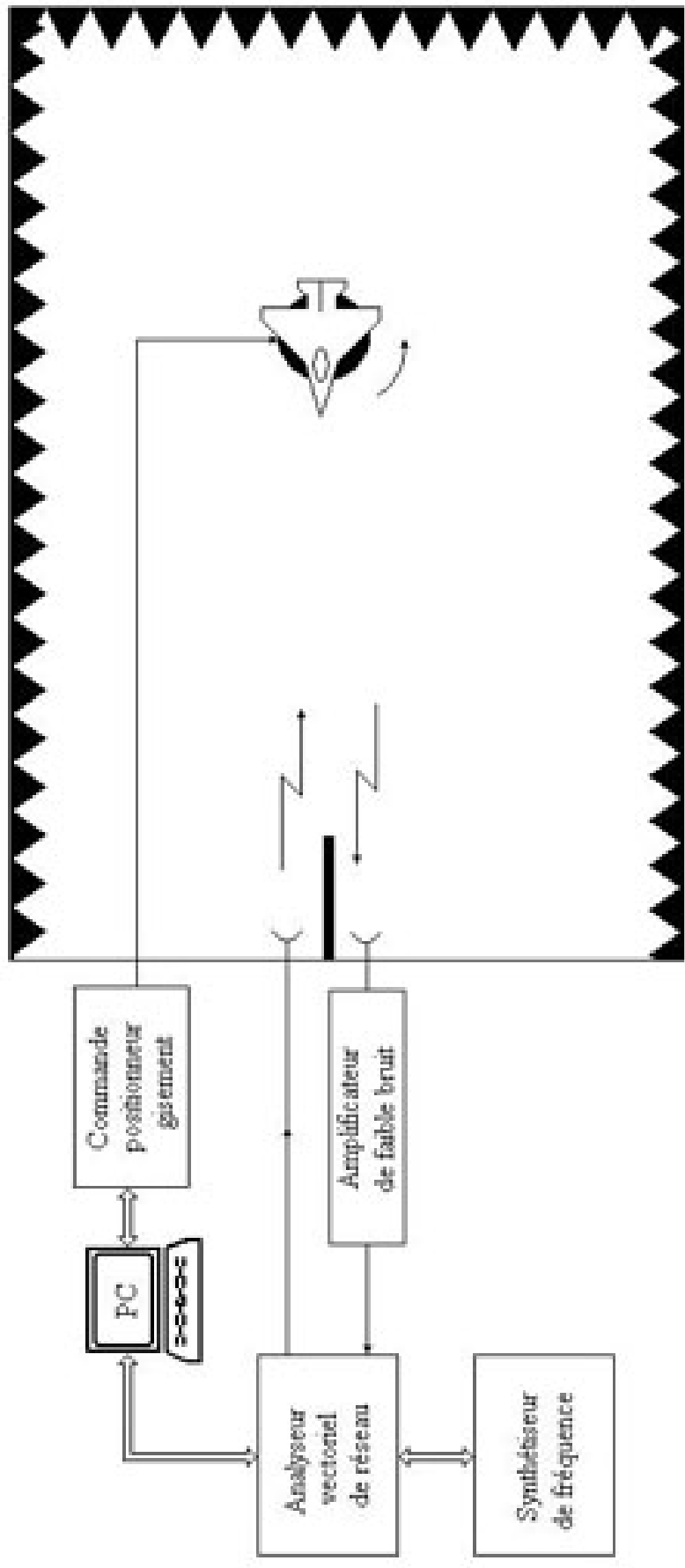
## Données

- La chambre anéchoïde du laboratoire



# Radar

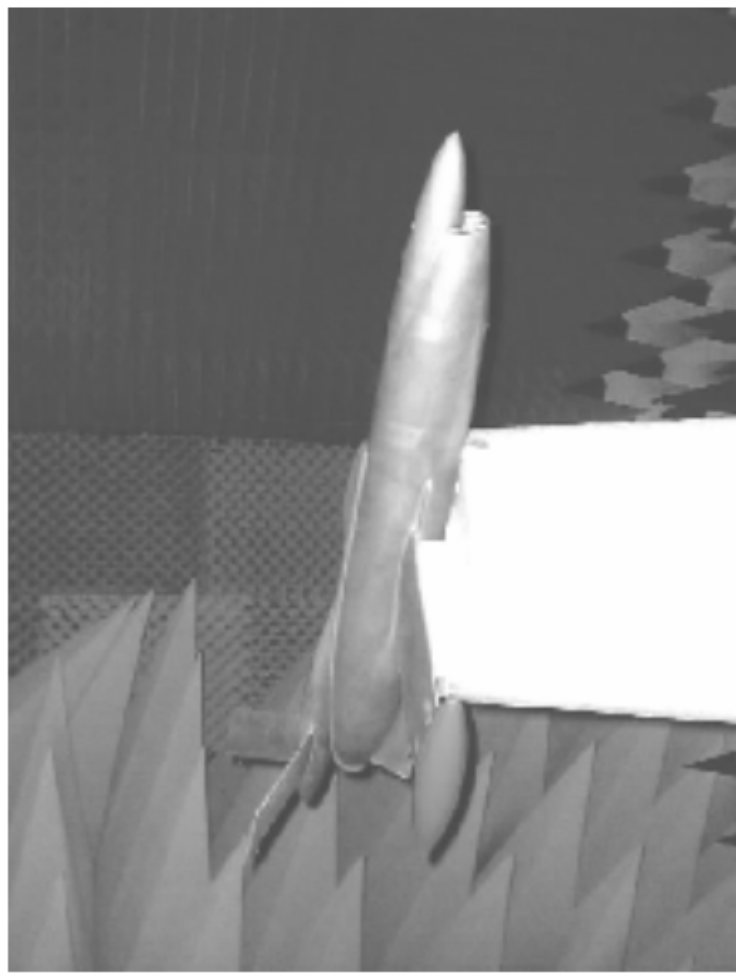
- Acquisition



# Données

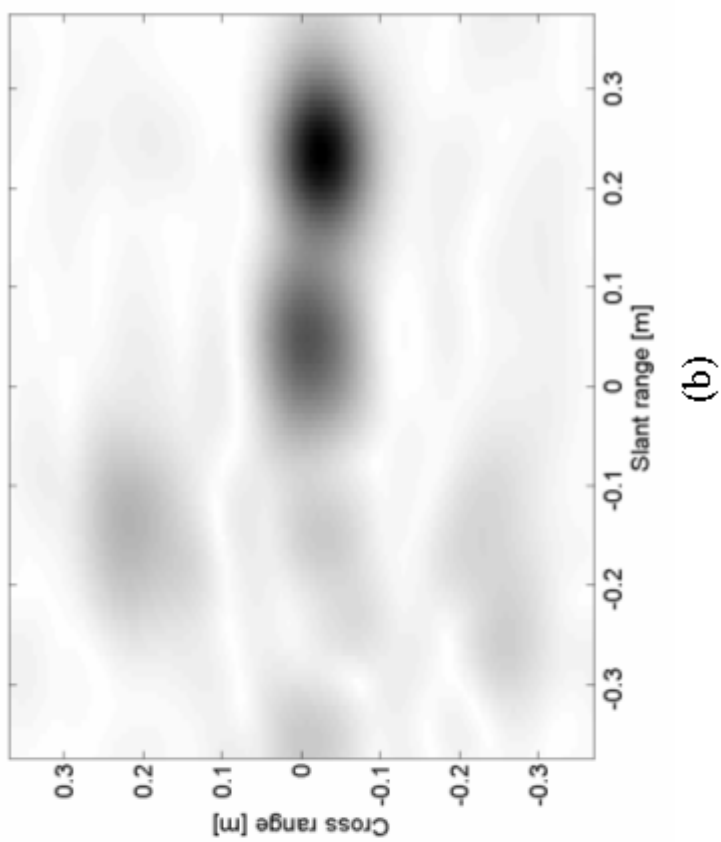
# Radar

- Image



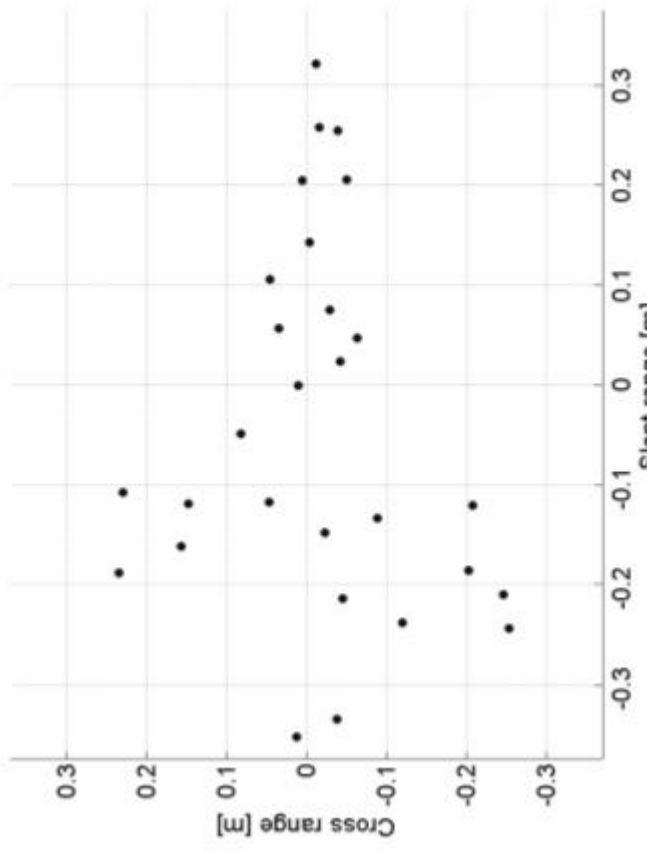
(a)

# Données



# Radar

- Image



(c)

ESPRIT

Arnaud MARTIN

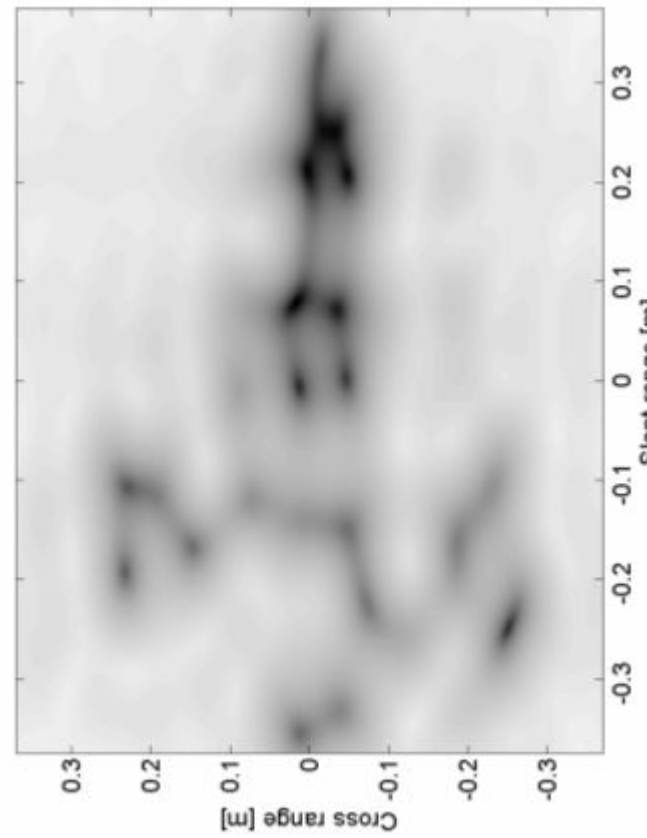
ENSIETA

GT Fouille données complexes

10 17 mars 2004

Orange

# Données



(d)

MUSIC

Orange

Orange

- Caractéristiques des données

- temporelles

- spatiales

- imprécises

- incertaines

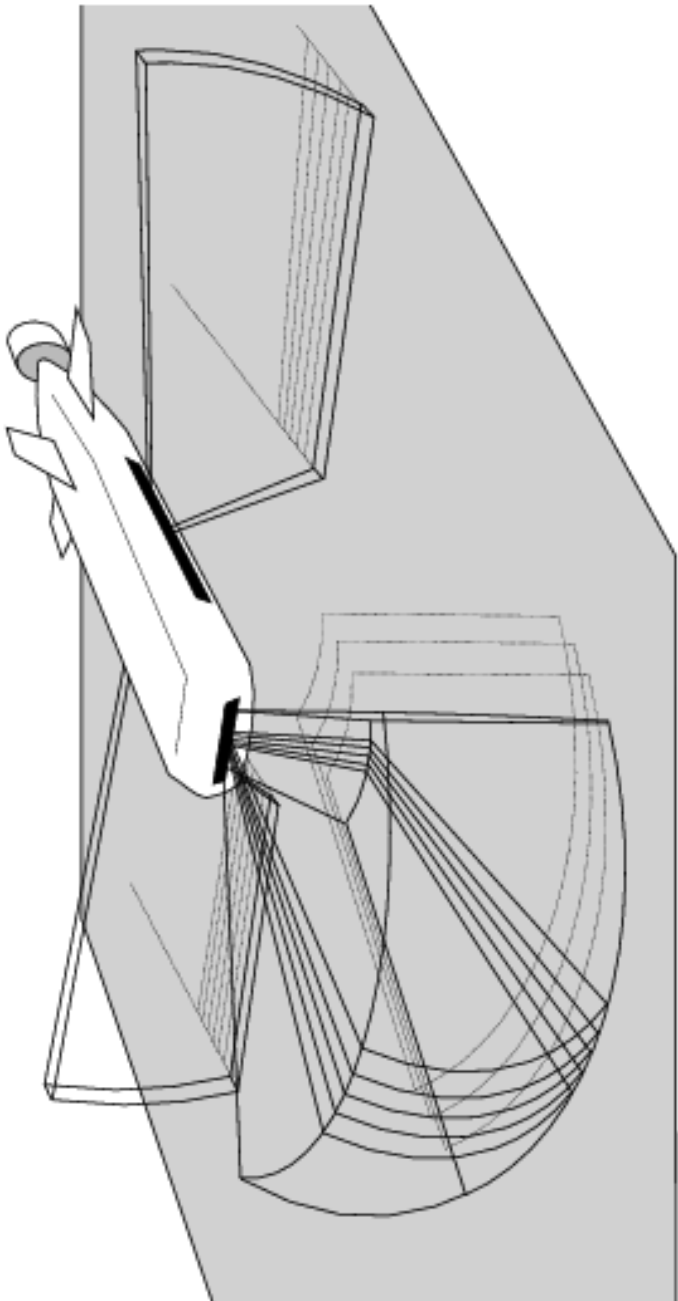
- Problèmes

- points brillants masqués (dépendant de l'angle de vue)

# Sonar

## Données

- Acquisition
  - latéral
  - multifaisceaux
  - frontal



- Caractéristiques des données

- temporelles

- spatiales

- imprécises

- incertaines

- problèmes

- interférences

- faune et flore

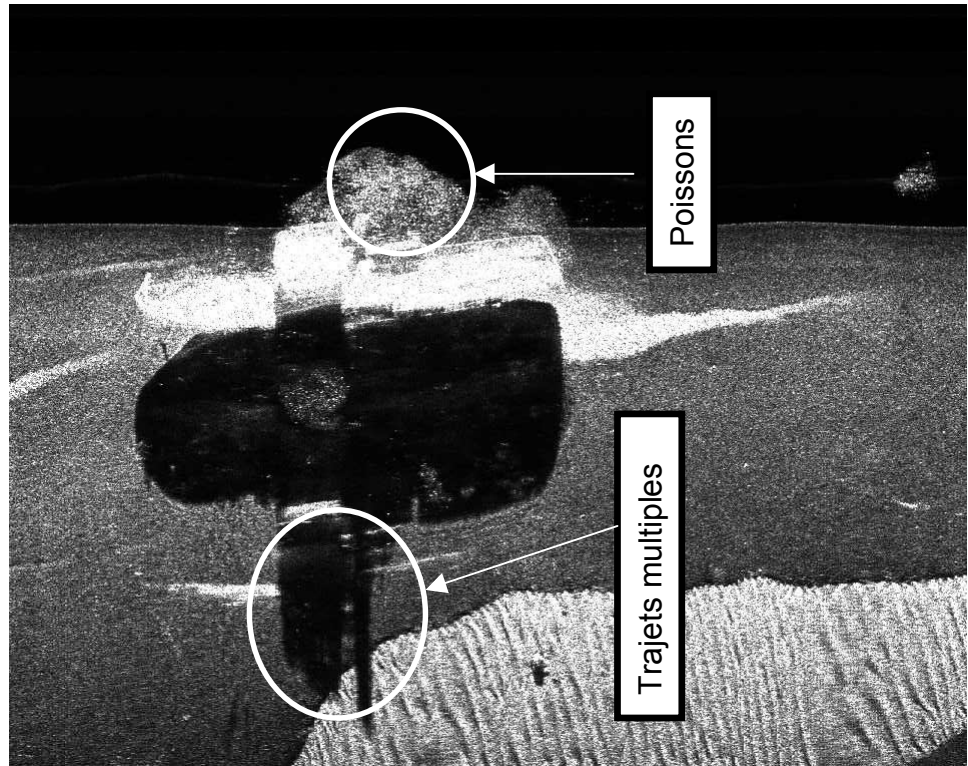
- reconstruction

- speckle

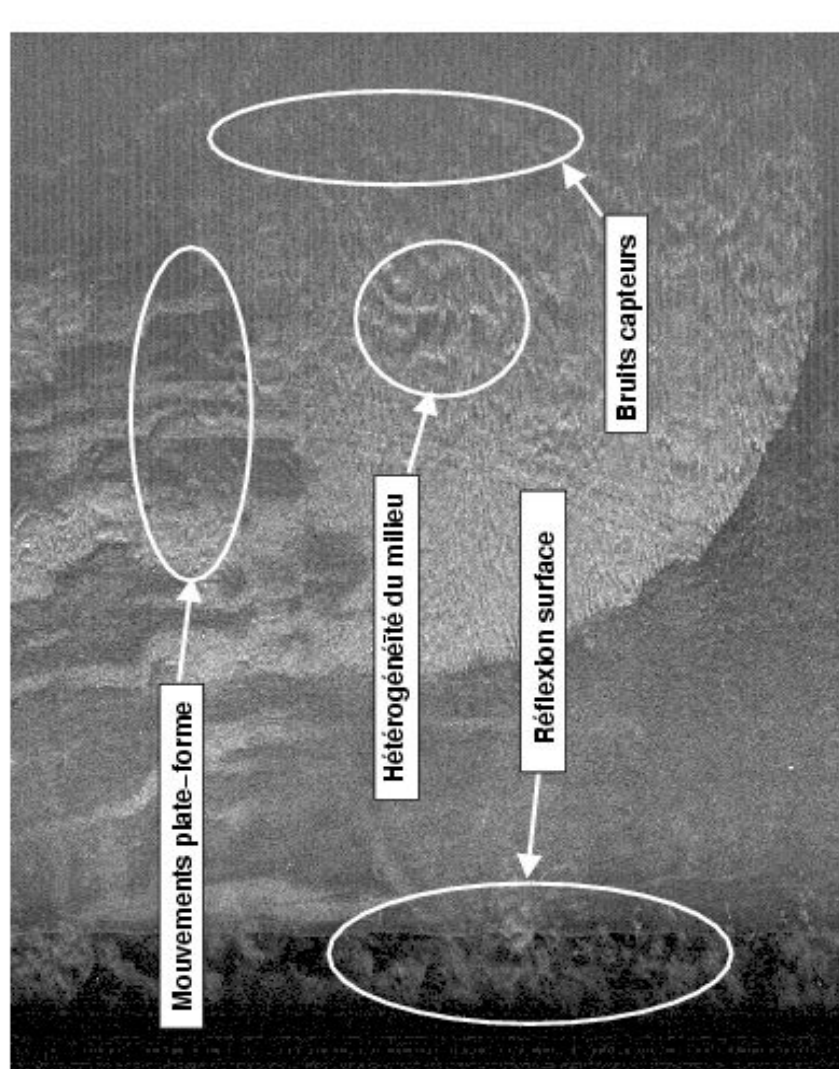
# Sonar

## Imperfections

## Données

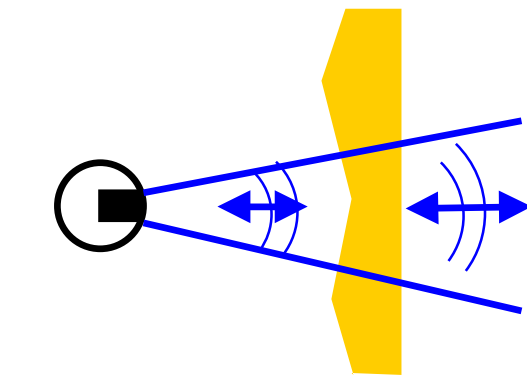


Données GESMA ©

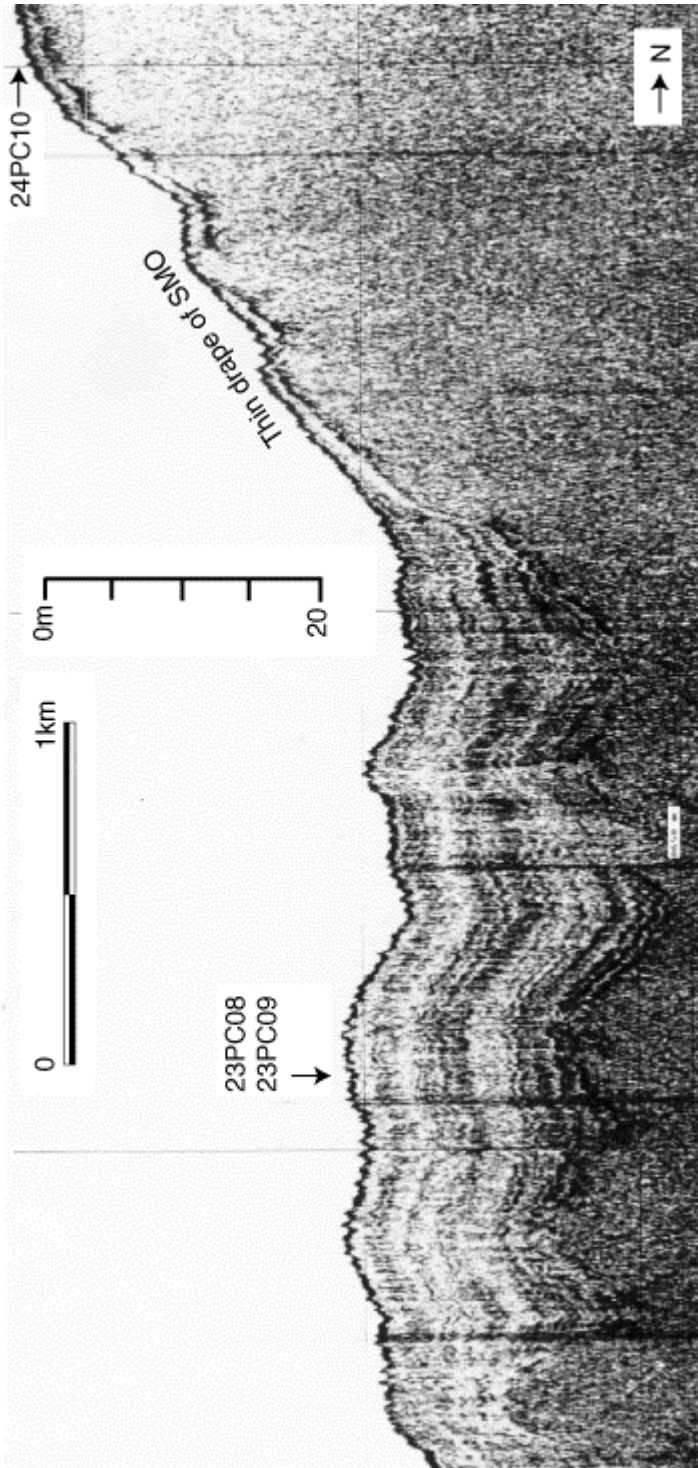


# Sondeur

- Image



# Données



Documentation Datasonic ©

Arnaud MARTIN

17 mars 2004

GT Fouille données complexes

ENSIETA

15

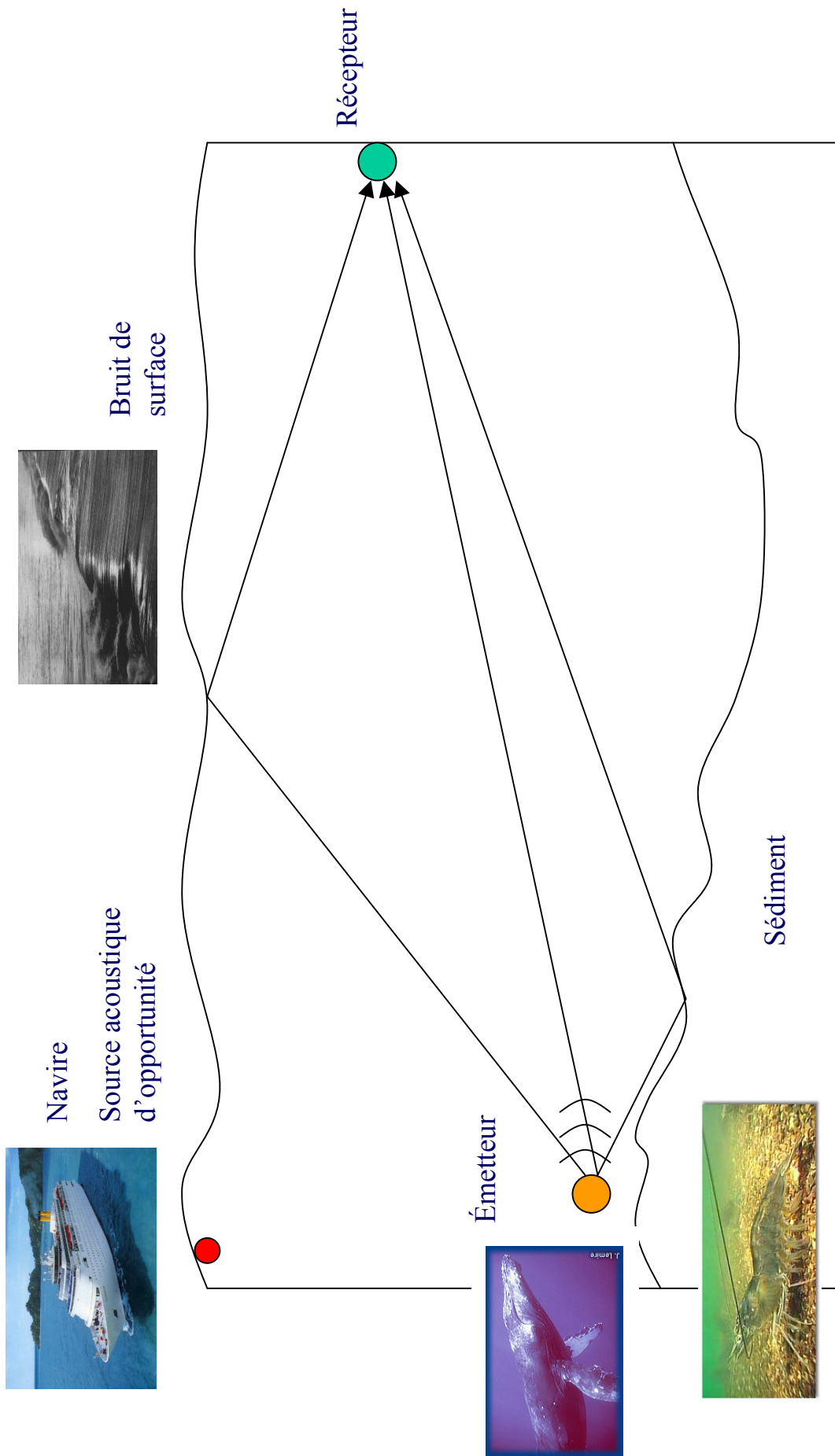
# Hydrophone

## Données

- Acquisition
- Hydrophones
- 2 types de tomographies
  - Active : bâtiment « ami » (position connue) émet une onde (de forme connue)
  - Passive : utilisation des sources d’opportunité présentes dans le milieu

# Hydrophone

## Données



ENSIETA

Arnaud MARTIN

GT Fouille données complexes

17

17 mars 2004

Orange

# Approches de classification

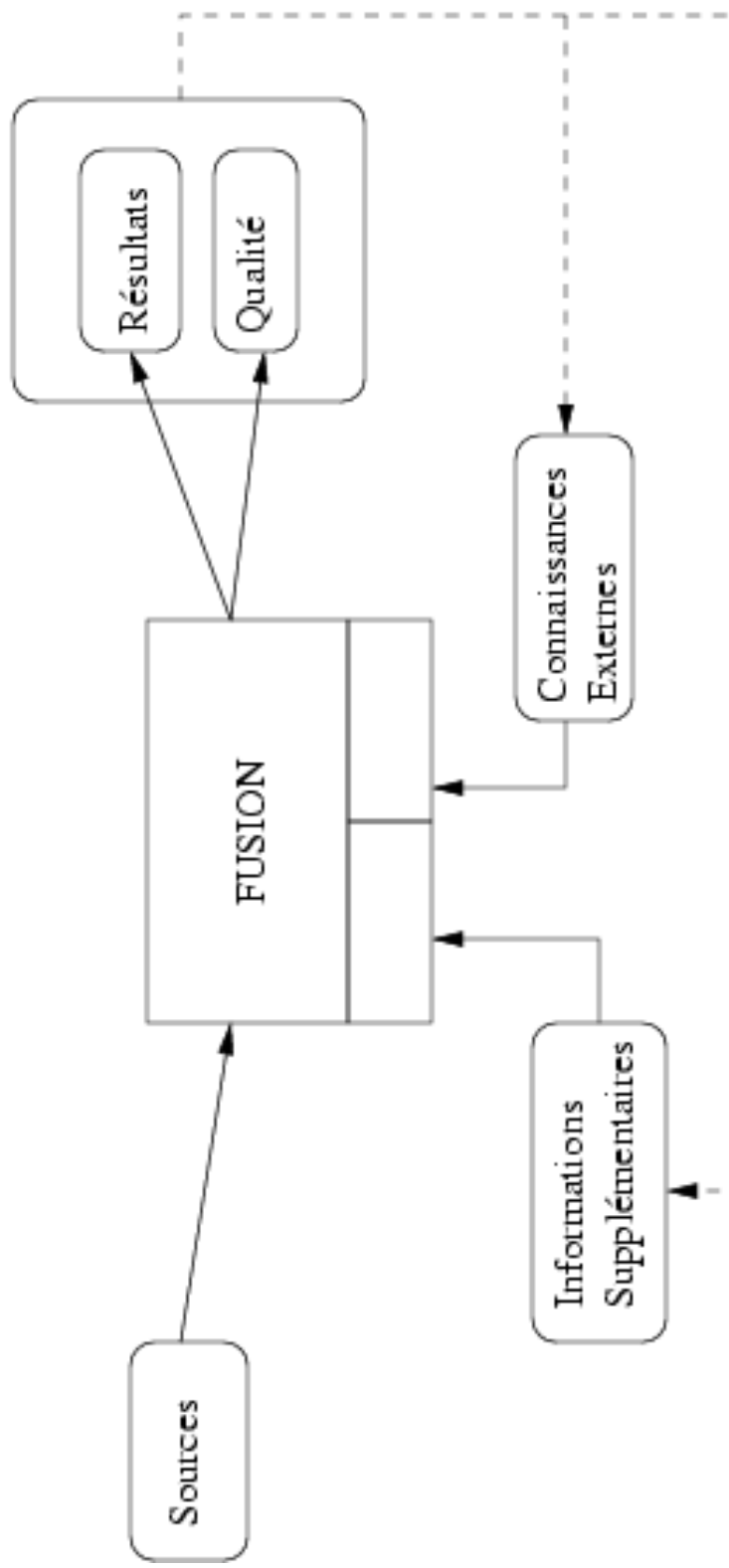
- Réseau de neurones
- Approches markoviennes
- SVM
- K-plus proche voisins flou
- SART

# Approches de fusion d'informations

- Fusion : combiner des informations issues de *plusieurs sources* afin d'améliorer la prise de décision
- Intérêt : Accroissement du nombre de l'espace des observations → de la qualité des décisions
  - système moins vulnérable
  - réduction de l'ambiguité des décisions (information plus complète ou plus précise)

## Principe

prendre en compte les imperfections des données  
(donc bonne modélisation)



## Fusion

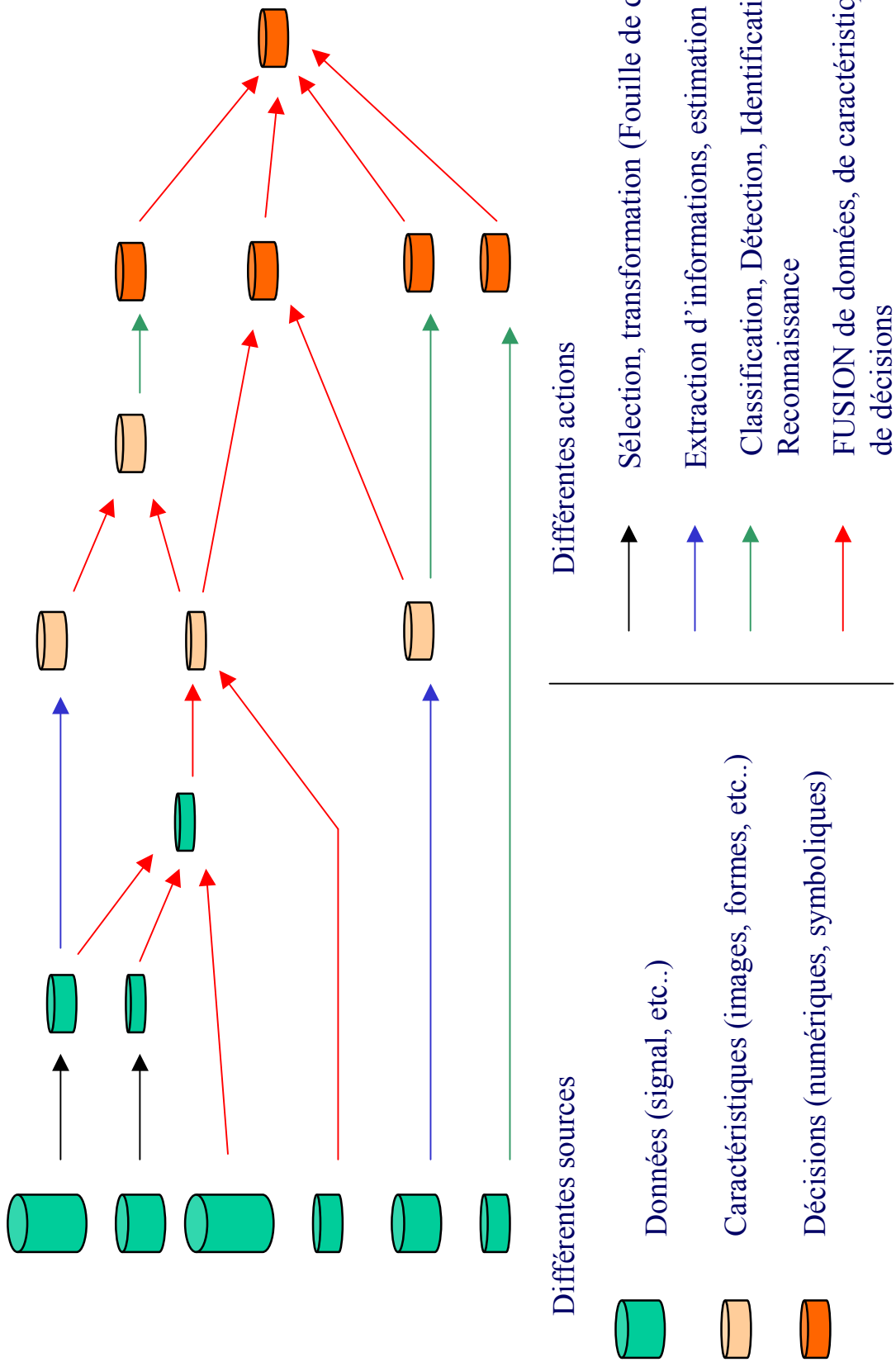
## Imperfections

Fusion

- Incertitude
  - Imprécision
  - Incomplétude
  - Redondance
  - Complémentarité
  - Conflit
  - Ambiguité

# Niveaux de fusion

## Fusion



# Architecture

# Fusion

Architecture  
du système

Réduction  
Réduction des données

Prétraitement  
Modification des valeurs des données

Extraction de caractéristiques  
Calcul de paramètres pertinents

Sources Capteurs

Transformation  
Modification de la représentation des données (ex reconstruction d'images)

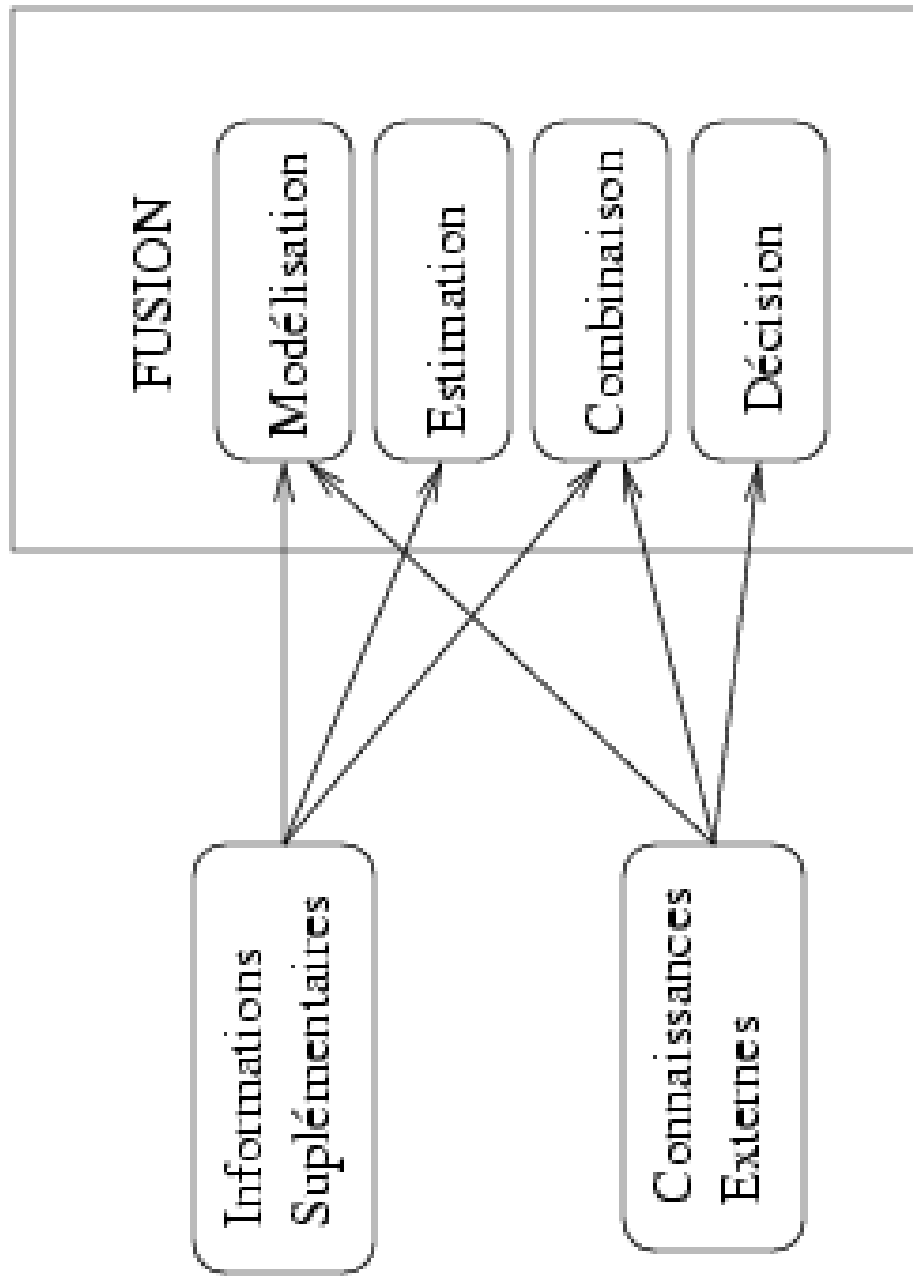
Classification  
Reconnaissance  
Détection  
Segmentation

FUSION

données  
caractéristiques  
décisions

# Architecture

# Fusion



## Modèles

## Fusion

- Approche bayésienne (probabiliste et statistique)
- Théorie des ensembles floues et des possibilités
- Théorie des croyances (Dempster-Shafer)

## Modèle flou

### Fusion

- Modélisation : mesure floue, (Nécessité et Possibilité)
- Estimation du degré d'appartenance
- Combinaison : t-norme, t-conorme, moyenne, ...
- Décision : maximum du degré d'appartenance

## Modèle Dempster-Shafer

### Fusion

- Modélisation : fonction de masses, (Croyance, Plausibilité)
- Estimation : ex. modèle d'Appriou

$$m_j^i(\{C_i\})(x) = \frac{\alpha_{ij} R_j p(s_j / C_i)}{1 + R_j p(s_j / C_i)}$$

$$m_j^i(\{C_i\}^c)(x) = \frac{\alpha_{ij}}{1 + R_j p(s_j / C_i)}$$

$$m_j^i(D)(x) = 1 - \alpha_{ij}$$

## Modèle Dempster-Shafer

### Fusion

- Combinaison : ex. Règle de Dempster

$$m(A) = (m_1 \oplus m_2 \oplus \dots \oplus m_m)(A) = \sum_{B_1 \cap B_2 \cap \dots \cap B_m = A} \prod_{j=1}^m m_j(B_j)$$

- Décision : ex.
  - Maximum de plausibilité
  - Maximum de croyance

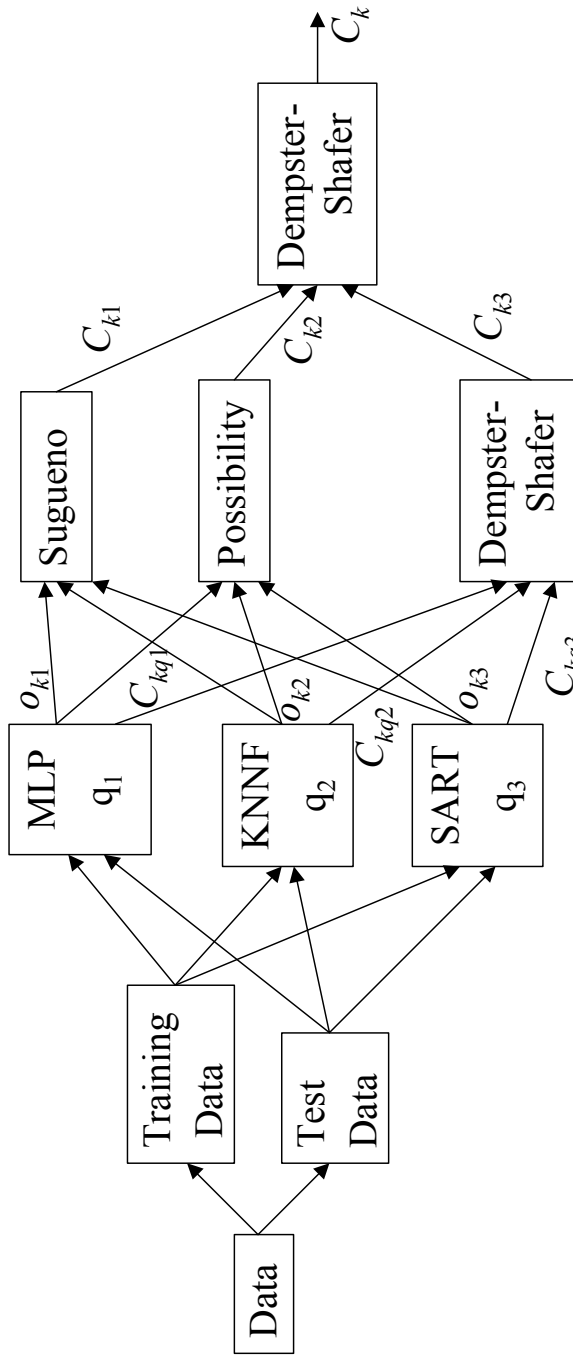
## 2 exemples d'applications

- Classification de cibles radar
- Caractérisation de sédiments

# Radar

- 10 cibles radar

## Exemple



Partition

Classification

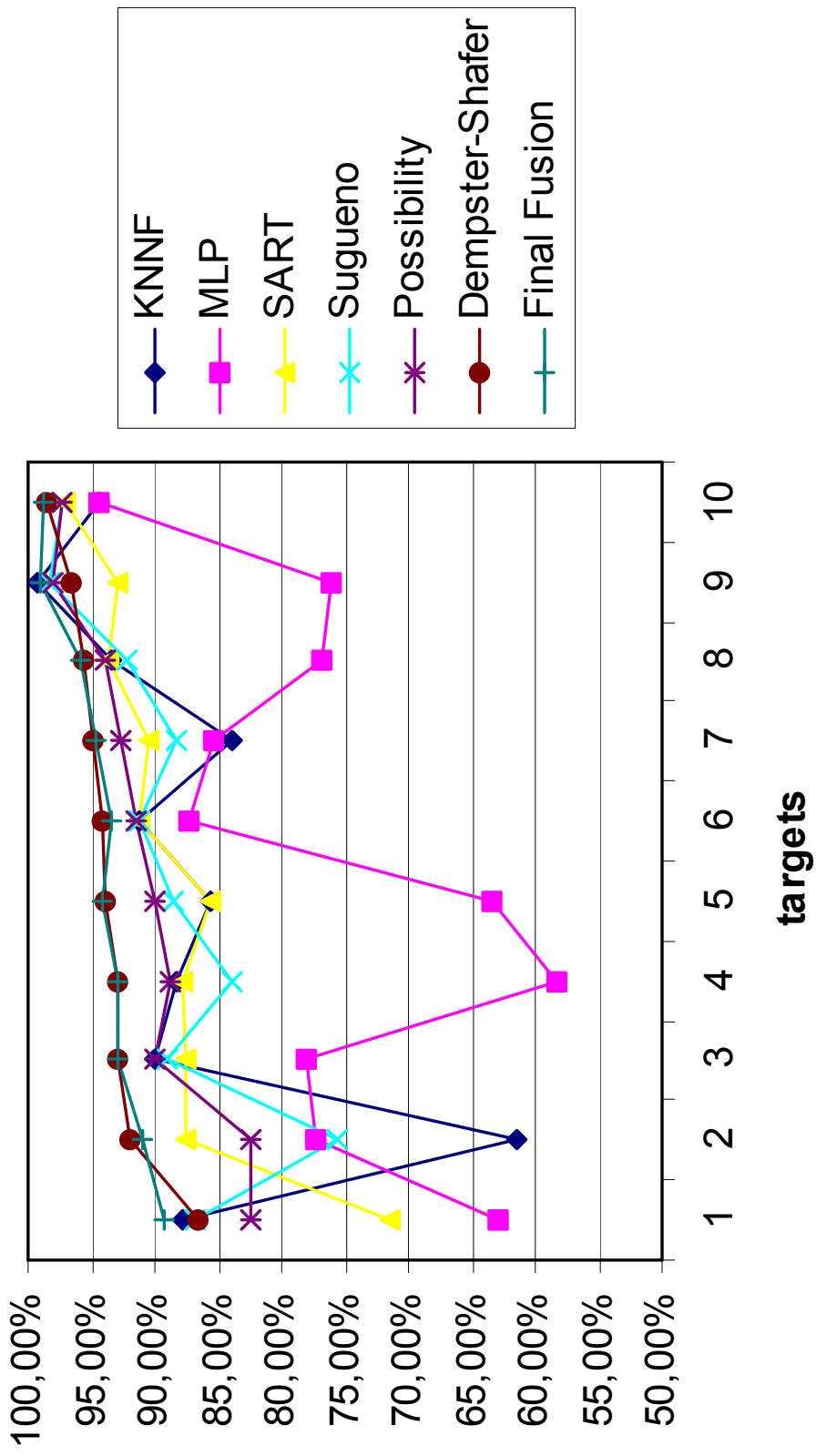
Fusion of  
classifier  
fusion



# Radar

## Exemple

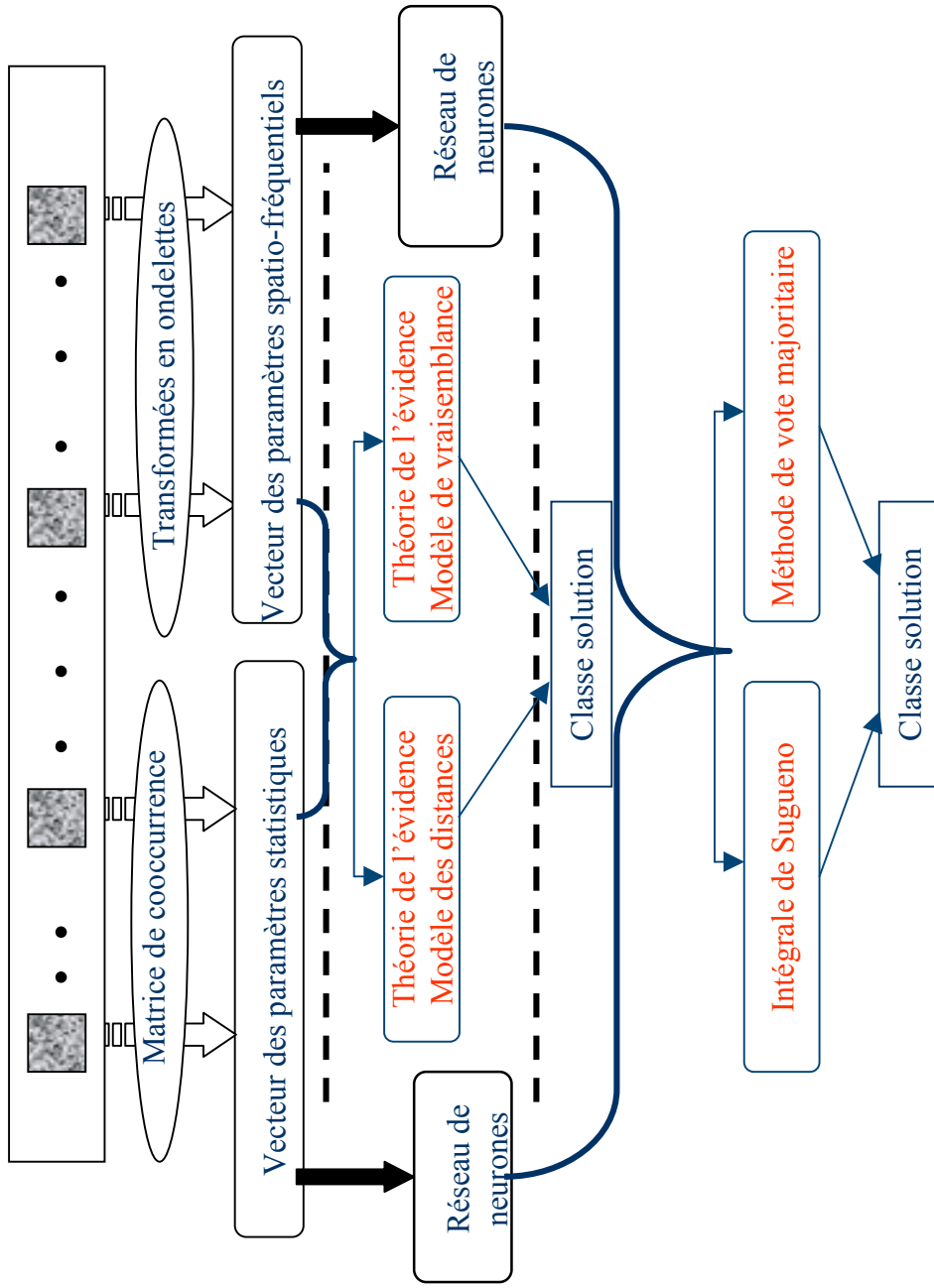
### • Résultats



# Sondeur

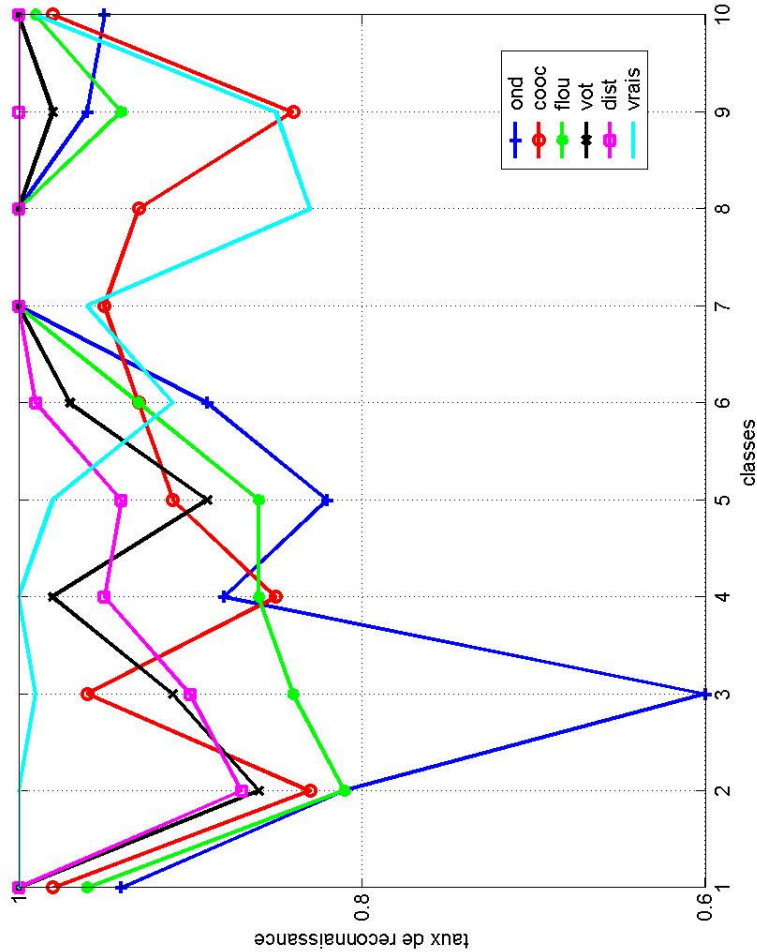
## Exemple

### • Données images de Brodatz



# Sondeur

## Exemple



	Cooccurrence	Ondelettes	Vote maj.	Int. floue	Dist.	Vrais.
$\tau(\%)$	91,6	88,6	91,9	95,9	96,3	96,1

# Conclusions - Perspectives

## Intérêt

Prise en compte de tout le système pour l'évaluation

## Principales difficultés

- Modélisation de l'imperfection des données complexes (radar et sonar)
- Extraction de l'information pertinente pour la classification
- vers des méthodes hybrides